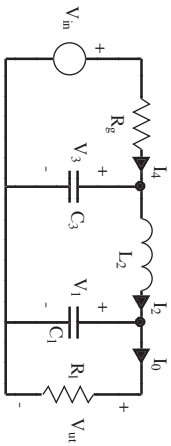


### 10. TOPOLOGIC SIMULATION

10.1

10.2

10.3 Define the currents in series arms and voltages over shunt arms from left to right and multiply the corresponding equations with an arbitrary positive constant  $R$ .

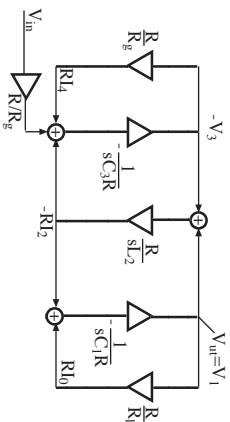


$$R \cdot I_0 = R \cdot \frac{V_{in}}{R_g} \quad V_1 = \frac{1}{sC_1 R} \cdot (RI_2 - RI_0)$$

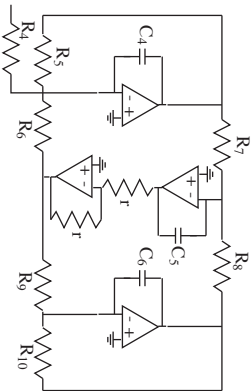
$$R \cdot I_2 = R \cdot \frac{V_3 - V_1}{sL_2} \quad V_1 = \frac{1}{sC_3 R} \cdot (RI_1 - RI_2)$$

$$R \cdot I_1 = R \cdot \frac{V_{in} - V_3}{R_s}$$

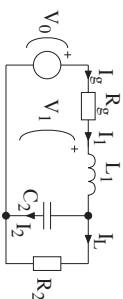
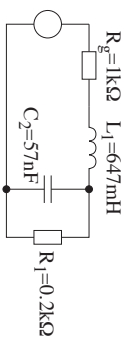
The corresponding signal-flow graph, shown below, is obtained after "moving" the - signs and the input node  $V_{in}$ .



Finally we get



10.4 Use the filter shown below as reference filter for design of a leapfrog filter. Determine the element values and select free capacitors to 10 nF and resistances to 10 kΩ.



$$I_1 = I_g; V_2 = V_L$$

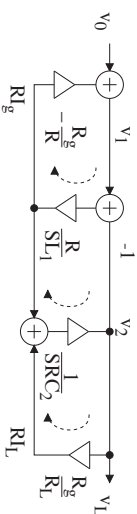
$$V_1 = V_0 - I_g R_g \Rightarrow V_1 = \frac{R}{R} (V_0 - I_g R_g)$$

$$I_g = (V_1 - V_2) \frac{1}{sL_1} \Rightarrow RI_g = \frac{R}{sL_1} (V_1 - V_2)$$

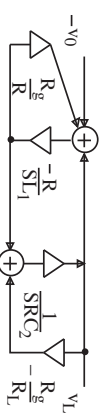
$$V_2 = (I_g - I_L) \frac{1}{sC_2} \Rightarrow V_2 = \frac{R}{R sC_2} (I_g - I_L)$$

$$I_L = \frac{V_2}{R_L} \Rightarrow RI_L = \frac{RV_2}{R_L}$$

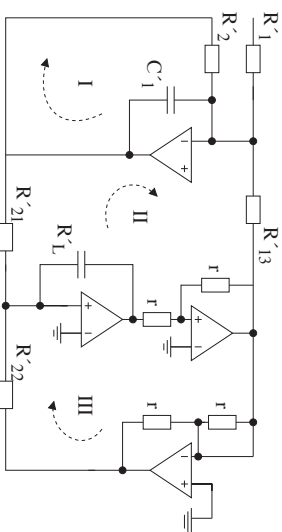
The corresponding signal-flow graph is



After modifying the SFG to obtain negative integrators we get



and the corresponding realization is



By equalizing the loop gain in the two last figures we can identify the element values.

$$I \cdot \frac{R}{R} \cdot \frac{R}{R} = \frac{1}{R^2 C_1^2 s^2} \Rightarrow R^2 C_1^2 = \frac{L_1}{R_g}$$

$$II: \frac{-R}{sL_1 sRC_2} = \frac{1}{R_2 sC_1 R_{13} sC_2} \Rightarrow R'_{13} C'_1 \cdot R'_{21} C'_2 = L_1 C_1$$

$$III: \frac{-R}{R_2 sRC_2} = \frac{-1}{sR'_{22} C'_2} \Rightarrow R'_{22} C'_2 = R_L C_L$$

We select  $C = 10 \text{ nF}$ .

$$I \Rightarrow R'_{12} = \frac{L_1}{R_3 C'_1} = \frac{0.647 \cdot 10^{-8}}{1000} = 64.7 \text{ k}\Omega$$

$$III \Rightarrow R'_{22} = \frac{R_L C_2}{C'_2} = \frac{200 \cdot 57 \cdot 10^{-9}}{10^{-8}} = 1140 \text{ }\Omega$$

$$II \Rightarrow R'_{13} R'_{21} = \frac{L_1 C_2}{C'_1 C'_2} = \frac{0.647 \cdot 57 \cdot 10^{-9}}{10^{-16}}$$

Select  $r = 10 \text{ k}\Omega$ .

$$\text{Select } R'_{13} = 10 \text{ k}\Omega \Rightarrow R'_{21} = 36550 \text{ }\Omega$$

10.5 samma som ovan?

10.6

10.5

**St 266Ex**

10.6

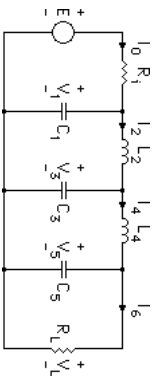
**ST EX10.6**

10.7

**St EX 10.7**

**Allpolfilter**

Det visar sig fruktbat att följa den diskuterade idén även i praktiken. För t ex ett lågpässfilter av allpoltyp får vi ett filter bestående av summerande integratorer, vilka enkelt realiseras med operationsförstärkare, resistorer and kondensatorer. Betrakta ett allpolnät enligt figuren nedan.



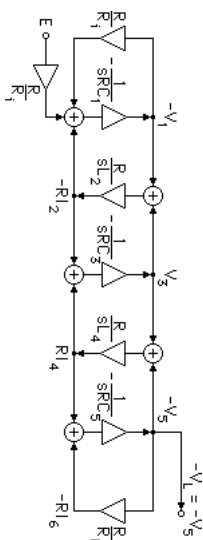
På samma sätt som tidigare får vi nätets ström-spänningsrelationer:

$$R_{10} = \frac{R}{K_1}(E: V_1); V_1 = \frac{1}{sRC_1}(R_{10} - R_1); R_1 = \frac{R}{sL_2}(V_1 - V_2);$$

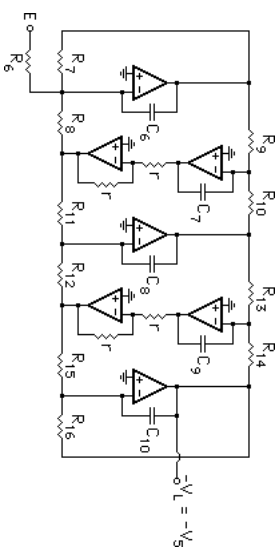
$$V_2 = \frac{1}{sRC_3}(R_1 - R_4); R_4 = \frac{R}{sL_4}(V_3 - V_2); V_3 = \frac{1}{sRC_2}(R_4 - R_1);$$

$$R_6 = \frac{R}{L_1} V_3$$

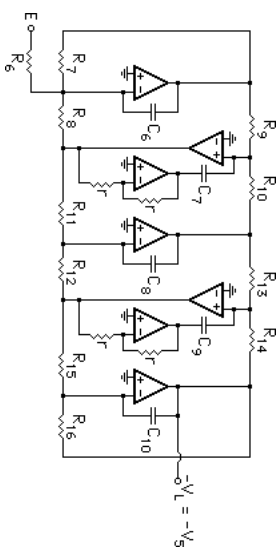
Ekvationerna kan åskådliggöras med hjälp av signalflödesschemat:



Signalflödesschemat leder till följande aktiva filterrealisering:



De icke-inverterande integratororganerna kan realiseras på alternativt sätt enligt figuren nedan, vilket ger en realisering med bättre högrefrekvensgenskaper än den första (jämför den tidigare presenterade realiseringen av en DIG-länk).



Regler för beräkning av elementvärden erhålls relativt enkelt, om man jämför kretsschemat and flödesschemat med avseende på koeficienter and överföringsfunktioner. Vi inser att följande samband skall vara uppfyllda:

$$\frac{1}{sR_6 C_6} = \frac{1}{sR_1 C_1} \Rightarrow R_6 C_6 = R_1 C_1; \frac{1}{sR_3 C_7} \cdot \frac{1}{sL_2} = \frac{1}{sR_4 C_7} \cdot \frac{1}{sL_2} \Rightarrow R_3 C_7 = \frac{R_4}{L_2};$$

På motsvarande vis för övriga elementvärden.